

0.1 Условие применимости метода линеаризации в задаче локального синтеза

0.1.1 Постановка задачи

Рассмотрим нелинейную систему, аффинную по управлению

$$\dot{z}(t) = f(z(t)) + Bu(t), \quad 0 \leq t \leq T, \quad z(0) = z_0. \quad (0.1)$$

где $z \in \mathbb{R}^n$ — вектор состояния, $u \in \mathbb{R}^r$ — вектор управления, $B \in \mathbb{R}^{n \times r}$, а T — некоторое положительное число.

Система (0.1) является частным случаем системы (??), которая исследовалась в Главе ??, при $f_1(t, z(t)) = f(z(t))$ и $f_2(t, z(t)) = B$.

Пространство скалярных или векторных функций интегрируемых с квадратом на $[0, T]$ будем обозначать здесь через $\mathbb{L}_2 = \mathbb{L}_2[0, T]$.

Предполагается, что управление $u(\cdot)$ принадлежит пространству \mathbb{L}_2 .

Предположение 1 Существует такое $\mu > 0$, что все решения $x(s, v(\cdot))$ системы $\dot{x} = -f(x) - Bv(t)$, выходящие из некоторой окрестности нуля и отвечающие управлениям $v(\cdot) \in B_{\mathbb{L}_2}(0, \mu)$, определены на интервале $[0, T]$ и лежат в шаре $B_{\mathbb{R}^n}(0, \bar{r})$, $\bar{r} > 0$.

Здесь $B_{\mathbb{R}^n}(0, \bar{r})$ — это шар радиуса \bar{r} с центром в точке $0 \in \mathbb{R}^n$. Будем считать, что функция f обладает следующим свойством.

Предположение 2 Найдутся такие $\bar{r} > r > 0$, $k > 0$ что при всех $z \in B_{\mathbb{R}^n}(0, r)$, функция $f(z)$ может быть представлена в форме $f(z) = Az + R(z)$, причем $A \in \mathbb{R}^{n \times n}$ и $\|R(z)\| \leq k\|z\|^2$.

Это свойство выполняется, если $f(0) = 0$, $\frac{\partial f}{\partial z}(0) = A$ и $f(z)$ дважды непрерывно дифференцируема.

Заметим, что из справедливости Предположения 2 для f следует выполнение условий Предположения ?? на интервале $0 \leq t \leq T$ в области $B_{\mathbb{R}^n}(0, r)$.

В качестве функционала мы рассматриваем

$$I(T, u) := \int_0^T u^\top(t)u(t)dt = \|u(\cdot)\|_{\mathbb{L}_2}^2. \quad (0.2)$$

Задача состоит в синтезе закона управления $u(t) = u(t, z(t))$ который бы приводил траектории замкнутой системы

$$\dot{z}(t) = f(z(t)) + Bu(t, z(t)), \quad 0 \leq t \leq T, \quad z(0) = z_0.$$

в начало координат за время T и обеспечивал при этом минимальное значение $I(T, u)$.

Рассмотрим линейный случай ($R(z) = 0$)

$$\dot{z} = Az + Bu, \quad 0 \leq t \leq T. \quad (0.3)$$

Если система (0.3) управляема, то решение описанной выше задачи — это линейный по состоянию закон управления

$$u(t, z) = -B^\top Q_T(t)z \quad (0.4)$$

(см, например, [?, ?, ?]). Здесь $Q_T(t) = W^{-1}(T-t)$, а $W(t)$ — грамиан управляемости системы $\dot{x} = -Ax - Bu$:

$$W(t) = \int_0^t e^{-A\tau} B B^\top e^{-A^\top \tau} d\tau.$$

Грамиан $W(t)$ положительно определен при $t > 0$ тогда и только тогда, когда система (0.3) управляема. Можно показать, что $Q_T(t)$ — решение дифференциального уравнения

$$\dot{Q}_T = Q_T B B^\top Q_T - A^\top Q_T - Q_T A, \quad Q_T(0) = W^{-1}(T). \quad (0.5)$$

Таким образом, чтобы найти $Q_T(t)$ на $(0, T]$, нужно сначала вычислить $W(T)$, а затем проинтегрировать систему (0.5). Поскольку $W(0) = 0$, $Q_T(t)$ определена для $t < T$ и $\|Q_T(t)\| \rightarrow \infty$ при $t \rightarrow T$.

Верно следующее утверждение [?, ?, ?].

Утверждение 1 Любая траектория $z(t)$ системы (0.3) с управлением (0.4) выходящая из точки z_0 достигает начала координат за время T . При этом интегральный функционал $I(T, u)$ принимает минимальное значение $z_0^\top Q_T(0) z_0$ при каждом z_0 .

Далее мы будем исследовать поведение траекторий системы (0.1) замкнутой линейной обратной связью $u(t, z) = -B^\top Q_T(t)z$ при условии, что T достаточно мало. Верно ли, что все траектории, начинающиеся в некоторой окрестности начала координат, достигают его? Можно ли что-то сказать о значении интегрального функционала?

0.1.2 Асимптотическая эквивалентность множеств достижимости

Далее, мы будем использовать понятие асимптотической эквивалентности множеств, введенное в разделе ???. Рассмотрим систему, уравнения которой получаются из (0.1) обращением времени. Положив $\tau = T - t$ мы имеем

$$\dot{x}(\tau) = -f(x(\tau)) - Bv(\tau), \quad 0 \leq \tau \leq T; \quad (0.6)$$

здесь $x(\tau) = z(T - \tau)$, $v(\tau) = u(T - \tau)$. При заданном $\mu > 0$ обозначим через $G_-(T, \mu)$ множество достижимости системы (0.6) с интегральными квадратичными ограничениями на управление, $G_-(T, \mu) = \{x \in \mathbb{R}^n : \exists v(\cdot) \in B_{\mathbb{L}_2}(0, \mu), x = x(T, v(\cdot))\}$.

Здесь $x(\tau, v(\cdot))$ обозначает решение системы (0.6) с нулевыми начальными условиями. Свойства множеств достижимости нелинейных систем с интегральными ограничениями на управление изучались во многих работах (см., например, [?, ?, ?]). Рассмотрим также

линейную систему

$$\dot{x}(\tau) = -Ax(\tau) - Bv(\tau), \quad 0 \leq \tau \leq T; \quad (0.7)$$

эта система является линеаризацией системы (0.6) в начале координат. Множество достижимости этой системы обозначим через $G_-^0(T, \mu)$. Это множество — эллипсоид в \mathbb{R}^n , описываемый неравенством $G_-^0(T, \mu) = \{x \in \mathbb{R}^n : x^\top W^{-1}(T)x \leq \mu^2\}$.

Через $\nu(\tau), \eta(\tau)$ обозначим наименьшее и наибольшее собственное число $W(\tau)$ соответственно. Из результатов [?, ?, ?, ?] следует, что множества достижимости $G_-(\tau, \mu)$ и $G_-^0(\tau, \mu)$ асимптотически эквивалентны при $\tau \rightarrow 0$ если пара (A, B) — управляема и существуют такие $l > 0$, $\tau_0 > 0$ и $\alpha > 0$ что для всех $0 < \tau \leq \tau_0$

$$\nu(\tau) \geq l\tau^{4-\alpha}. \quad (0.8)$$

Замечание 1 Множество достижимости $G_-(T, \mu)$ системы (0.6) совпадает с множеством нуль-управляемости системы (0.1), т.е. множества таких начальных условий, из которых система может быть переведена в начало координат управлениями из $B_{L_2}(0, \mu)$ за время T . То же самое справедливо для систем (0.7) и (0.7) и соответствующих им множеств $G_-^0(T, \mu)$.

0.1.3 Задача синтеза управления. Асимптотика траекторий

Далее мы будем предполагать, что пара (A, B) является управляемой, не уточняя это отдельно.

В этом разделе мы исследуем асимптотическое поведение траекторий системы (0.1), замкнутой линейной обратной связью $u(t, z) = -B^\top Q_T(t)z$:

$$\dot{z} = f(z) - BB^\top Q_T(t)z, \quad 0 \leq t \leq T, \quad z(0) = z_0. \quad (0.9)$$

Напомним, что это управление приводит траектории линейной системы $\dot{z} = Az + Bz$ к началу координат в момент времени T и обеспечивает минимальное значение функционала. Это значение равно $J_0(T, z_0) = z_0^\top Q_T(0)z_0$.

Для анализа траекторий системы (0.9) используем следующую лемму

Лемма 1 Пусть $C \in \mathbb{R}^{n \times n}$ и $D \in \mathbb{R}^{n \times n}$ — симметричные положительно-определенные матрицы, $C = D^{-1}$. Тогда, для любого $\forall z \in \mathbb{R}^n$

$$\frac{1}{\lambda_{\max}(D)} \|z\|^2 \leq z^\top C z \leq \frac{1}{\lambda_{\min}(D)} \|z\|^2, \quad (0.10)$$

где $\lambda_{\max}(D)$ и $\lambda_{\min}(D)$ — наибольшее и наименьшее собственное число матрицы D .

Д о к а з а т е л ь с т в о . Следует из факта, что наибольшее и наименьшее собственное число матрицы C равны $1/\lambda_{\min}(D)$ и $1/\lambda_{\max}(D)$, соответственно. \square

Если $C = Q_T(t) = W^{-1}(T - t)$, то $D = W(T - t)$ и неравенство (0.10) принимает вид

$$\frac{1}{\eta(T - t)} \|z\|^2 \leq z^T Q_T(t) z \leq \frac{1}{\nu(T - t)} \|z\|^2, \quad 0 \leq t < T.$$

Предположение 3 Пусть существует $\bar{T} > 0$ и непрерывная положительная функция $\varphi(\tau) : (0, \bar{T}] \rightarrow \mathbb{R}$ такие, что

$$0 < \frac{\eta(\tau)}{\sqrt{\nu(\tau)}} \leq \varphi(\tau), \quad 0 < \tau \leq \bar{T}, \quad \int_0^{\bar{T}} \varphi(\tau) d\tau < \infty.$$

Введем функцию $\Phi(T) : [0, \bar{T}] \rightarrow \mathbb{R}$

$$\Phi(T) = \int_0^T \varphi(\tau) d\tau, \quad 0 < T \leq \bar{T}, \quad \Phi(0) = 0.$$

Напомним, что $\eta(\tau)$ и $\nu(\tau)$ — это наименьшее и наибольшее собственные числа $W(\tau)$. Далее будем считать систему (0.7) полностью управляемой, поэтому $\eta(\tau) \geq \nu(\tau) \geq 0$ при $\tau \geq 0$.

Поскольку $\varphi(\tau)$ не обязательно ограничено в нуле, $\Phi(T)$ может принимать значения, равные $+\infty$.

Лемма 2 Верны следующие свойства $\Phi(T)$:

1. Если $\Phi(T) < \infty$ хотя бы для одного T , то $\Phi(T) < \infty$ для всех $T \in (0, \bar{T}]$.
2. Если $\Phi(T) < \infty$, то $\Phi(T)$ непрерывная и возрастающая функция на $[0, \bar{T}]$.

Доказательство. Следует из свойств несобственных интегралов. □

Предположение 4 Существует такое $0 < \beta \leq 1$ что $\frac{\sqrt{\eta(T)}}{\Phi^\beta(T)} \rightarrow 0$ при $T \rightarrow 0$.

Если $\Phi(T)$ конечна, то существует не более одного корня уравнения $\Phi(T) = 1$ на $(0, \bar{T}]$, обозначим этот корень через T^* . Если $\Phi(T) < 1$ при $T \in (0, \bar{T}]$ положим $T^* = \bar{T}$. Очевидно, что для всех $0 < \beta \leq 1$, $\Phi^\beta(T) \geq \Phi(T)$ если $T \leq T^*$.

При фиксированном $T \in (0, \bar{T}]$ рассмотрим квадратичную форму $V_T(t, z) = z^T Q_T(t) z$.

Лемма 3 Пусть выполнено предположение 3. Если $T \leq T^*$ и $z(t)$ — такая траектория системы (0.9) что $z(t) \in B(0, r)$ при $0 < t \leq T$ и $V_T(0, z(0)) \leq 1/(4k^2 \Phi^{2\beta}(T))$ для некоторого $0 < \beta \leq 1$. Тогда

$$V_T(t, z(t)) \leq \frac{1}{k^2 \Phi^{2\beta}(T)}, \quad 0 \leq t \leq T.$$

Д о к а з а т е л ь с т в о . . Продифференцировав V_T вдоль траектории $z(t)$ системы (0.1) на интервале $[0, T]$, мы получим

$$\begin{aligned}\frac{d}{dt}V_T(t, z) &= \frac{d}{dt}z^\top Q_T z = \dot{z}^\top Q_T z + z^\top \dot{Q}_T z + z^\top Q_T \dot{z} = \\ &= (z^\top A^\top + R^\top(z) - z^\top Q_T B B^\top) Q_T z + \\ &+ z^\top Q_T (A + R(z) - B B^\top Q_T) z + z^\top (Q_T B B^\top Q_T - A^\top Q - Q_T A) z = \\ &= R^\top(z) Q_T z + z^\top Q_T R(z) - z^\top (Q_T B B^\top Q_T) z = \\ &= 2(R(z), Q_T z) - z^\top Q_T B B^\top Q_T z\end{aligned}$$

Хотя здесь z и Q_T зависят от t , для краткости мы опускаем явную зависимость в обозначениях. Из $z^\top Q_T B B^\top Q_T z \geq 0$, следует, что

$$\frac{d}{dt}V_T(t, z) \leq 2(R(z), Q_T z) = 2(R(z), z)_{Q_T} \leq 2\|R(z)\|_{Q_T}\|z\|_{Q_T}. \quad (0.11)$$

Здесь использованы обозначения $(x, y)_{Q_T} = x^\top Q_T y$ и $\|x\|_{Q_T} = \sqrt{(x, x)_{Q_T}}$ для $x, y \in \mathbb{R}^n$. Так как $z = z(t) \in B(0, r)$ то, учитывая, что $\|R(z)\| \leq k\|z\|^2$ и применяя Лемму 1, получаем

$$\|R(z)\|_{Q_T} \leq \frac{1}{\sqrt{\nu(T-t)}}\|R(z)\| \leq \frac{k}{\sqrt{\nu(T-t)}}\|z\|^2 \leq k \frac{\eta(T-t)}{\sqrt{\nu(T-t)}}V_T. \quad (0.12)$$

Напомним, что $Q_T^{-1}(t) = W(T-t)$. Подставляя полученную выше оценку в (0.11) приходим к

$$\frac{d}{dt}V_T \leq 2k \frac{\eta(T-t)}{\sqrt{\nu(T-t)}}V_T^{3/2} \leq 2k\varphi(T-t)V_T^{3/2} \quad (0.13)$$

Давайте введем систему

$$\dot{\psi} = 2k\varphi(T-t)\psi, \quad (0.14)$$

которую мы будем использовать как систему сравнения для (0.13). Проинтегрировав эту систему, мы имеем

$$d\psi^{-1/2} = -k\varphi(T-t)dt, \quad \psi^{-1/2}(t) = -k \int_0^t \varphi(T-\zeta)d\zeta + C,$$

где

$$0 < \int_0^t \varphi(T-\zeta)d\zeta \leq \int_0^T \varphi(T-\zeta)d\zeta = \int_0^T \varphi(\tau)d\tau = \Phi(T)$$

Выберем $C = 2k(\Phi(T))^\beta$, тогда $\psi^{-1/2} \geq 2k(\Phi(T))^\beta - k\Phi(T) = k(2\Phi^\beta - \Phi) \geq k\Phi^\beta$. То-

гда $\psi(t) \leq (k^2\Phi^{2\beta}(T))^{-1}$ для всех $0 \leq t \leq T^*$ и $\psi(0) = (4k^2\Phi^{2\beta}(T))^{-1}$. Таким образом, $V_T(0, z(0)) \leq \psi(0)$ и теорема сравнения [?], примененная к (0.13), (0.14), означает, что выполняется неравенство $V_T(t, z(t)) \leq \psi(t)$. Это завершает доказательство. \square

Теорема 1 Пусть выполнены предположения 3, 4. Тогда существует такое $T_1 \leq T^*$ что для всех $T \leq T_1$, найдется такой $r_1(T)$ что траектории системы (0.9) выходящие из $z(0) = z_0 \in B(0, r_1(T))$ стремятся к 0 при $t \rightarrow T$.

Д о к а з а т е л ь с т в о . Поскольку $\frac{\sqrt{\eta(T)}}{\Phi^\beta(T)}$ стремится к 0 если T стремится к 0, то найдется такой $T_1 \leq T^*$, что выполняется следующее неравенство $\sqrt{\eta(T)}/(k\Phi^\beta(T)) \leq r/2$, $\forall T \in [0; T_1]$.

Определим $r_1(T)$ равенством

$$r_1(T) = \min \left\{ \frac{r}{4}, \frac{\sqrt{\nu(T)}}{2k\Phi^\beta(T)} \right\}. \quad (0.15)$$

Здесь нам нужно доказать, что вся траектория $z(t)$ лежит в сфере $B(0, r)$, чтобы использовать оценку (0.16) из предыдущего раздела. Из (0.15) немедленно следует, что $r_1(T) < r$. Отсюда и из условий теоремы и следует, что $z_0 \in B(0, r_1(T)) \subset B(0, r)$. Более того, непрерывность траектории $z(t)$ означает, что условие $z(t) \in B(0, r)$ выполняется и для близких к нулю значений t .

Обозначим $t^* = \sup \{t : z(t) \in B(0, 0.5r)\}$. Предположим, что $t^* < T$, это означает, что $z(t) \notin B(0, 0.5r)$, при $t > t^*$. Тогда, мы можем выбрать такое положительное ε , что включение $z(t) \in B(0, r)$ будет выполняться для всех $0 \leq t \leq t^* + \varepsilon$.

Из условия (0.15) следует, что для $0 \leq t \leq t^* + \varepsilon$ будет выполняться следующее условие

$$V_T(0, z_0) \leq \frac{1}{\nu(T)} \|z_0\|^2 \leq \frac{1}{\nu(T)} r_1^2 \leq \frac{1}{4k^2\Phi^{2\beta}(T)}.$$

Из Леммы 3 вытекает, что $V_T(t, z(t)) \leq \psi(t)$ и

$$\|z(t)\|^2 \leq \eta(T-t)V_T(t, z(t)) \leq \eta(T-t)\psi(t) \leq \frac{\eta(T)}{k^2\Phi^{2\beta}(T)}, \quad (0.16)$$

поэтому, $\|z(t)\| \leq \frac{\sqrt{\eta(T)}}{k\Phi^\beta(T)} \leq r/2$ для всех $0 \leq t \leq t^* + \varepsilon$, что противоречит определению t^* . А значит, включение $z(t) \in B(0, r)$ и неравенство $V_T(t, z(t)) \leq \psi(t)$ справедливы для всех $t \in [0; T]$.

Наконец, $\|z(t)\|^2 \leq \eta(T-t)\psi(t) \leq \eta(T-t)(k^2\Phi^{2\beta}(T))^{-1}$, где $\eta(T-t) \rightarrow 0$ при $t \rightarrow T$, а это означает, что $\|z(t)\|$ тоже стремится к нулю. \square

Следствие 1 Пусть существуют такие $l > 0$, $\tau_0 > 0$ и $\alpha > 0$ что для всех $0 < \tau \leq \tau_0$ выполняется

$$\nu(\tau) \geq l\tau^{4-\alpha}. \quad (0.17)$$

Тогда справедливы Предположения 3 и 4 и, следовательно, утверждение Теоремы 1 является верным.

Д о к а з а т е л ь с т в о . Положим $\bar{T} = \tau_0$. Существует такое $m > 0$, что $\eta(\tau) \leq m\tau$, для $0 < \tau \leq \bar{T}$ (см, например, [?]). Следовательно, имеем $\eta(\tau)/\sqrt{\nu(\tau)} \leq ml^{-1/2}\tau^{-1+\alpha/2}$, и можем взять $\varphi(\tau) := ml^{-1/2}\tau^{-1+\alpha/2}$. В этом случае $\Phi(T) = 2mT^{\alpha/2}/(l^{-1/2}\alpha)$, и Предположение 3, очевидно, выполняется. Поскольку $\sqrt{\eta(T)}/\Phi^\beta(T) \leq c_0T^{(1-\alpha\beta)/2}$, где c_0 — константа, то для выполнения Предположения 4 достаточно взять $\beta < 1/\alpha$. \square Заметим, что неравенство (0.17) совпадает с условием, из которого следует Теорема 1 из [?].

0.1.4 Оценка погрешностей в значениях функционала

В этой части работы мы сосредоточимся на значении интегрального функционала (0.2) при применении линейной обратной связи (0.4) к нелинейной системе (0.1). Напомним, что в линейном случае системы (0.3) этот функционал принимает минимальное значение на управлении (0.4). Ранее мы обозначили это значение через $J_0(T, z_0)$. А обозначение $J(T, z_0)$ мы используем для значения функционала на траектории системы (0.9). Для того, чтобы получить выражение для $J(T, z_0)$ нам нужен проинтегрировать (0.11) от 0 до t :

$$z^\top(t)Q_T(t)z(t) = z_0^\top Q_T(0)z_0 - \int_0^t u^\top(\xi)u(\xi) d\xi + 2 \int_0^t R^\top(z(\xi))Q(\xi)z(\xi)d\xi, \quad (0.18)$$

где $u(\xi) = -B^\top Q_T(\xi)z(\xi)$ — это управление в момент времени ξ . В линейном случае, $R(z) \equiv 0$ и $z^\top(t)Q_T(t)z(t) \rightarrow 0$ при $t \rightarrow T$, так что

$$J_0(T, z_0) = z_0^\top Q_T(0)z_0 = \int_0^t u^\top(\xi)u(\xi) d\xi.$$

Далее мы собираемся исследовать поведение квадратичной формы $z^\top(t)Q_T(t)z(t)$ и остаточного члена в (0.18), который мы обозначим через

$$\gamma(t, z_0) = 2 \int_0^t R^\top(z(\xi, z_0))Q(\xi)z(\xi, z_0)d\xi.$$

Теорема 2 Пусть выполнено предположение 3. Пусть $x(t)$ — такая траектория системы (0.9), что $x(t) \in B(0, r)$, при $0 \leq t \leq \tilde{T} \leq \bar{T}$ и $V_{\tilde{T}}(t, x(t)) \rightarrow 0$ при $t \rightarrow \tilde{T}$. Тогда существует такое $T_2 \leq \tilde{T}$ что для всех $0 < T < T_2$ выполняется следующая оценка

$$\left| \frac{J(T) - J_0(T)}{J_0(T)} \right| \leq 16k\Phi(T)J_0^{1/2}(T). \quad (0.19)$$

Здесь $J(T) = J(T, x(\tilde{T} - T))$, $J_0(T) = J_0(T, x(\tilde{T} - T))$ — значения функционала $I(T, u(\cdot))$ на траекториях нелинейной и линеаризованной системы соответственно.

Д о к а з а т е л ь с т в о . Пусть $T \leq \tilde{T}$. Через $z(t)$ обозначим траекторию системы (0.9) с начальным условием $z(0) = x(\tilde{T} - T)$ и определенную на интервале $[0, T)$. Тогда мы имеем

$$Q_T(t) = W^{-1}(T - t) = W^{-1}(\tilde{T} - (\tilde{T} - T + t)) = Q_{\tilde{T}}(\tilde{T} - T + t) = Q(\tau),$$

$$V_T(t, z(t)) = z^\top(t)Q_T(t)z(t) = V_{\tilde{T}}(\tau, x(\tau)),$$

где $\tau = \tilde{T} - T + t$. $V_T(0, z(0)) = V_{\tilde{T}}(\tilde{T} - T, x(\tilde{T} - T))$, $V_{\tilde{T}}(t, x(t)) \rightarrow 0$ при $t \rightarrow \tilde{T}$. Поскольку $V_{\tilde{T}}(t, x(t)) \rightarrow 0$, $t \rightarrow \tilde{T}$ мы получаем, что $V_T(0, z(0)) = J_0(T)$ стремится к нулю при $T \rightarrow 0$. Ясно, что $V_T(t, z(t)) = z^\top(t)Q_T(t)z(t) = V_{\tilde{T}}(\tau, x(\tau))$ стремится к нулю при $t \rightarrow T$. Используя это, перепишем (0.18)

$$\int_0^T u^\top(\xi)u(\xi) d\xi - z_0^\top Q_T(0)z_0 = 2 \int_0^T R^\top(z(\xi))Q(\xi)z(\xi)d\xi = \gamma(T, z(0)), \quad (0.20)$$

и изучим подробнее подынтегральное выражения $(R(z), Q_T z) = (R(z), z)_{Q_T} \leq \|R(z)\|_{Q_T} \|z\|_{Q_T}$. Повторяя шаги (0.12), (0.13) из доказательства леммы 3, приходим к следующей оценке сверху

$$2(R(z), Q_T z) \leq 2k \frac{\eta(T - t)}{\sqrt{\nu(T - t)}} V_T^{3/2} \leq 2k\varphi(T - t) V_T^{3/2}, \quad (0.21)$$

которая аналогична (0.13). Однако дальнейшие действия с системой сравнения здесь несколько изменены. Интегрируя систему сравнения $\dot{\psi} = 2k\varphi(T - t)\psi$, имеем

$$d\psi^{-1/2} = -k\varphi(T - t)dt, \quad \psi^{-1/2}(t) = -k \int_0^t \varphi(T - \zeta)d\zeta + C.$$

Поскольку $V_T(0, z(0)) \rightarrow 0$ и $\Phi(T) \rightarrow 0$ при $T \rightarrow 0$, то найдется такое T_2 , что при всех $T \leq T_2$ выполняется неравенство $\Phi(T)\sqrt{V_T(0, z(0))} \leq 1/2k$. Перепишав это неравенство, получаем

$$\frac{1}{2\sqrt{V_T(0, z(0))}} \geq k\Phi(T).$$

Выберем $C = 1/\sqrt{V_T(0, z(0))}$, тогда

$$\psi^{-1/2}(t) = -k \int_0^t \varphi(T - \zeta)d\zeta + C \geq -k\Phi(T) + C \geq \frac{1}{2\sqrt{V_T(0, z(0))}},$$

таким образом, $\psi(t) \leq 4V_T(0, z(0)) = 4J_0(T)$. Поскольку $\psi(0) = V_T(0, z(0))$, из теоремы сравнения мы получаем, что $V_T(t, z(t)) \leq \psi(t) \leq 4J_0(T)$, при $0 \leq t < T$.

Подставляя эту оценку в (0.21) мы получаем $(R(z), Q_T z) \leq k\varphi(T - t) (4J_0(T))^{3/2}$. Теперь

нам остается только проинтегрировать это выражение и использовать его в (0.20),

$$J(T) - J_0(T) = \gamma(T, z(0)) = 2 \int_0^T R^\top(z(\xi)) Q_T(\xi) z(\xi) d\xi \leq 2k\Phi(T)(4J_0(T))^{3/2},$$

откуда и следует (0.19). \square

Так как при предположениях Теоремы 2 $\Phi(T)$ и $J_0(T)$ стремятся к нулю, то правая часть (0.19) тоже стремится к нулю при $T \rightarrow 0$.

В теореме 1 мы доказали, что траектория $z(t)$ системы (0.9) стремится к нулю при $t \rightarrow T$ и $V_T(t, z(t))$ — ограничена в окрестности T . Следующая теорема дает условия, при которых $V_T(t, z(t)) \rightarrow 0$ при $t \rightarrow T$.

Теорема 3 Пусть выполнено неравенство (0.8). Пусть $T \leq \bar{T}$ и траектория $z(t)$ системы (0.9) стремится к нулю при $t \rightarrow T$. Тогда $V_T(t, z(t)) = z^\top(t) Q(t) z(t) \rightarrow 0$ при $t \rightarrow T$.

Доказательство. Заметим, что функция $u(\xi) = -B^\top Q(\xi) z(\xi)$ — непрерывна на интервале $0 \leq \xi < T$.

Так же заметим, что функция $V_T(t, z(t))$ может не быть конечной только в окрестности точки $t = T$. Однако, учитывая, что выполнение неравенства (0.8) предполагает выполнение условия теоремы, можно увидеть, что из $z(t) \rightarrow 0$ следует, что условия леммы 3 будут выполняться для t из окрестности T . Следовательно, $V_T(t, z(t))$ ограничена на всей траектории $z(t)$. Теперь из соотношения (0.18) видно, что интегральная стоимость $I(t, u) = \int_0^t u^\top(\xi) u(\xi) d\xi$ равномерно ограничена относительно $t \in [0, T]$. Из этого следует, что $u(\cdot)$ принадлежит пространству $\mathbb{L}_2[0, T]$.

Предположим, что квадратичная форма $z^\top(t) Q_T(t) z(t)$ не стремится к нулю при t стремящимся к T . Это означает, что найдется последовательность $t_k \rightarrow T$ и $\delta > 0$ такие, что

$$z^\top(t_k) Q(t_k) z(t_k) \geq \delta^2. \quad (0.22)$$

Неравенство $\int_{t_k}^T u^\top(\xi) u(\xi) d\xi \leq \|u(\cdot)\| \sqrt{T - t_k}$ означает, что существует такое k_0 , что при всех $k > k_0$ выполняются оба следующих условия

$$\int_{t_k}^T u^\top(\xi) u(\xi) d\xi \leq \frac{\delta^2}{4}, \quad T - t_k \leq \tau_0.$$

По условиям теоремы, $z(t) \rightarrow 0$ при $t \rightarrow T$. Сделаем замену времени, введя $y(\tau) = z(T - \tau)$ — решение системы (0.6) с начальным условием $y(0) = 0$ и управлением $v(\tau) = u(T - \tau)$. Обозначим $\tau_k = T - t_k$ и заметим, что τ_k сходятся к нулю. Действительно,

$$\int_0^{\tau_k} v^\top(\xi) v(\xi) d\xi \leq \frac{\delta^2}{4},$$

Поэтому, $z(t_k) = y(\tau_k)$ лежит в множестве достижимости системы (0.6), т.е. выполняется включение $z(t_k) \in G_-(T - t_k, \delta/2)$.

Из асимптотической эквивалентности множеств достижимости G_-^0 и G_- [?], а также из

свойств расстояния Банаха-Мацура следует, что

$$z(t_k) \in \exp(\rho(T - t_k))G_-^0(T - t_k, \frac{\delta}{2}) = G_-^0(T - t_k, \frac{\delta}{2} \exp(\rho(T - t_k))),$$

где $\rho(T - t_k) = \rho(G_-(T - t_k, \frac{\delta}{2}), G_-^0(T - t_k, \frac{\delta}{2}))$.

Поскольку $t_k \rightarrow T$, $\rho(T - t_k) \rightarrow 0$, $\exp(\rho(T - t_k)) \rightarrow 1$, то существует такое k_1 , что для всех $k > k_1$ выполнено $\exp(\rho(T - t_k))\delta/2 \leq 2\delta/3$. Используя формулу

$$G_-^0(T - t_k, \delta/2) = \left\{ x \in \mathbb{R}^n : xW^{-1}(T - t_k)x \leq \frac{4\delta^2}{9} \right\},$$

мы получаем $z^\top(t_k)W^{-1}(T - t_k)z(t_k) \leq 4\delta^2/9$.

Так как $W^{-1}(\tau_k) = Q(t_k)$, неравенство выше противоречит неравенству (0.22). Это означает, что $V_T(t, z(t)) = z^\top(t)Q(t)z(t) \rightarrow 0$ при $t \rightarrow T$. \square

0.1.5 Примеры

В этом разделе мы приводим результаты численных экспериментов, которые призваны проиллюстрировать применение теорем 1 и 2. Здесь мы имеем дело с осциллятором Дуффинга, уравнения которого

$$\dot{z}_1 = z_2, \quad \dot{z}_2 = -z_1 - 10z_1^3 + u, \quad 0 \leq t \leq T \quad (0.23)$$

описывают движение нелинейной упругой пружины под действием внешней силы u . Желаемое конечное состояние - $z_1(T) = z_2(T) = 0$. Это состояние также является состоянием равновесия.

Теперь проверим, справедливо ли Предположение 2 для правой части системы (0.23). Нетрудно видеть, что оно выполняется при $k = 10$, $r = 1$: для всех z_1, z_2 таких, что $z_1^2 + z_2^2 \leq 1$, $\|R(z)\| = 10|z_1|^3 < 10(z_1^2 + z_2^2)$.

Линеаризация системы (0.23) в начале координат приводит к системе, описываемой следующей парой матриц

$$A = \begin{pmatrix} 0 & 1 \\ -1 & 0 \end{pmatrix}, \quad B = \begin{pmatrix} 0 \\ 1 \end{pmatrix}. \quad (0.24)$$

Для выбора функции $\varphi(\tau)$ выпишем собственные значения грамиана управляемости системы (0.24) $\nu(t) = \frac{t^3}{12} + O(t^5)$, $\eta(t) = t - \frac{t^3}{12} + O(t^5)$. Эти собственные значения позволяют установить $\varphi(t) = \frac{4}{\sqrt{t}}$. В этом случае, $\Phi(T) = 8\sqrt{T}$ и \bar{T} могут быть сколь угодно большими. Выберем $\beta = 0.5$ чтобы получить

$$\frac{\sqrt{\eta(T)}}{\Phi^\beta(T)} = \frac{\sqrt{30} t^{0.25} \sqrt{t^4 - 20t^2 + 240}}{240} \rightarrow 0 \text{ при } T \rightarrow 0.$$

В первой серии экспериментов начальные условия $z_0 = (-0, 0108; 0, 2722)$ фиксированы,

Таблица 1: Результаты экспериментов с переменным T

№	T	$z_0^\top Q_T(0)z_0$	$J(T, z_0)$	Δ_J
1	1.500	0.159686	0.159136	0.0034435
2	1.250	0.197308	0.197031	0.0013990
3	1.000	0.249346	0.249231	0.0004611
4	0.750	0.327395	0.327360	0.0001055
5	0.500	0.459094	0.459089	0.0000102
6	0.250	0.710789	0.710790	0.0000012
7	0.100	0.836541	0.836542	0.0000014
8	0.075	1.000000	1.000001	0.0000009

и изменяется только длина временного интервала T . Точки z_0 выбираются так, чтобы они лежали внутри множества нуль-управляемости системы (0.23) при $T = 0.075$ и $\mu = 1$, то есть $z_0 \in G_-(0.075, 1)$.

Теперь, изменяя T , будем вычислять $Q_T(0)$ и моделировать движение системы (0.23), замкнутой линейной обратной связью $u(t) = -B^\top Q_T(t)x$. Результаты моделирования показаны на рисунке 1 и в таблице 1. Зеленые области обозначают множество нуль-управляемости $G_-(T, 1)$ системы (0.23) при $T = \{0.075, 0.1, 0.25, 0.5, 0.75, 1.0, 1.25, 1.5\}$, сплошные линии показывают траектории системы при тех же T . Символ "♦" обозначает точку z_0 , а "•" — целевую точку, расположенную в начале координат. В левой нижней части рисунка показана увеличенная область вокруг начала координат, отмеченная красным прямоугольником. В заголовке таблицы используется обозначение

$$\Delta_J = \frac{|J_0(T, z_0) - J(T, z_0)|}{J_0(T, z_0)}.$$

Несмотря на то, что условие $z_0 \in B(0, r_1(T))$ Теоремы 1 не выполняется при $r_1(T)$, используемом в доказательстве, траектории по-прежнему стремятся к нулю. Это можно объяснить слишком строгим выбором $r_1(T)$ и тем, что теорема 1 формулирует только достаточные условия для того, чтобы траектории стремились к нулю. Можно заметить, что в случае фиксированных начальных условий с уменьшением T относительная разность функционалов Δ_J уменьшается, что следует из оценки, полученной в теореме 2.

Теперь мы немного изменим условия эксперимента. Мы изменим не только T , но и начальные условия z_0 так, чтобы, во-первых, выполнялось равенство $z_0^\top Q_T(0)z_0 = 1$, а во-вторых, чтобы точка z_0 находилась внутри соответствующего множества нуль-управляемости $G_-(T, 1)$.

Результаты этой серии экспериментов показаны на Рисунке 2 и в Таблице 2. Зелеными областями обозначены множества нуль-управляемости $G_-(T, 1)$ системы (0.23) при $T = \{0.25, 0.5, 0.75, 1.0, 1.25, 1.5\}$, пунктирные линии показывают границы множества нуль-управляемости линеаризованной системы (0.24), сплошные линии показывают траектории нелинейной системы при различных T . Символы "♦" разных цветов обозначают

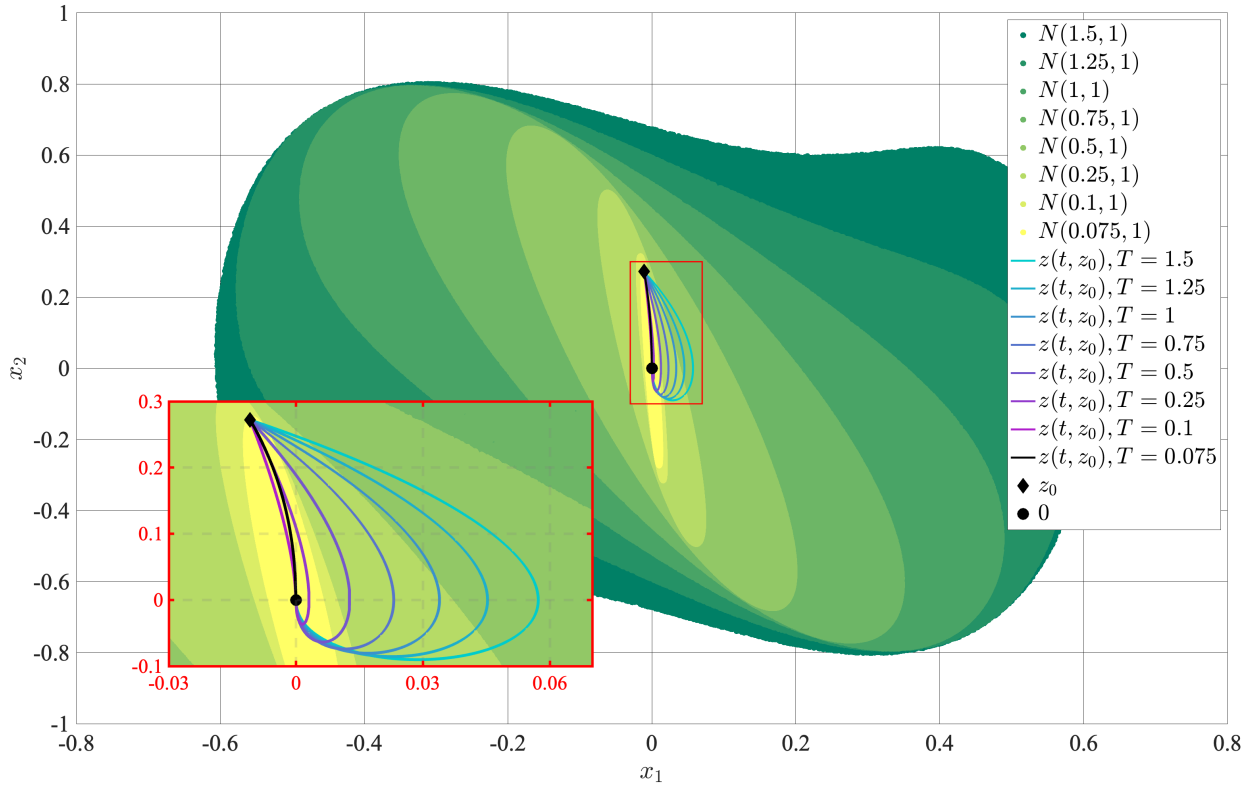


Рис. 1: Результаты экспериментов с переменным T .

Таблица 2: Результаты экспериментов с изменением T и z_0

№	T	z_0	$\ z_0\ ^2$	$z_0^\top Q_T(0)z_0$	$J(T, z_0)$	Δ_J
1	1.500	[-0.594;-0.057]	0.356680	0.999993	1.075833	0.0758407
2	1.250	[-0.578;0.226]	0.385032	0.999997	1.110464	0.1104671
3	1.000	[-0.502;0.508]	0.509514	0.999999	1.108159	0.1081607
4	0.750	[-0.354;0.652]	0.550391	1.000000	1.048784	0.0487844
5	0.500	[-0.195;0.638]	0.445513	1.000000	1.009848	0.0098475
6	0.250	[-0.069;0.481]	0.236487	1.000000	1.000349	0.0003490

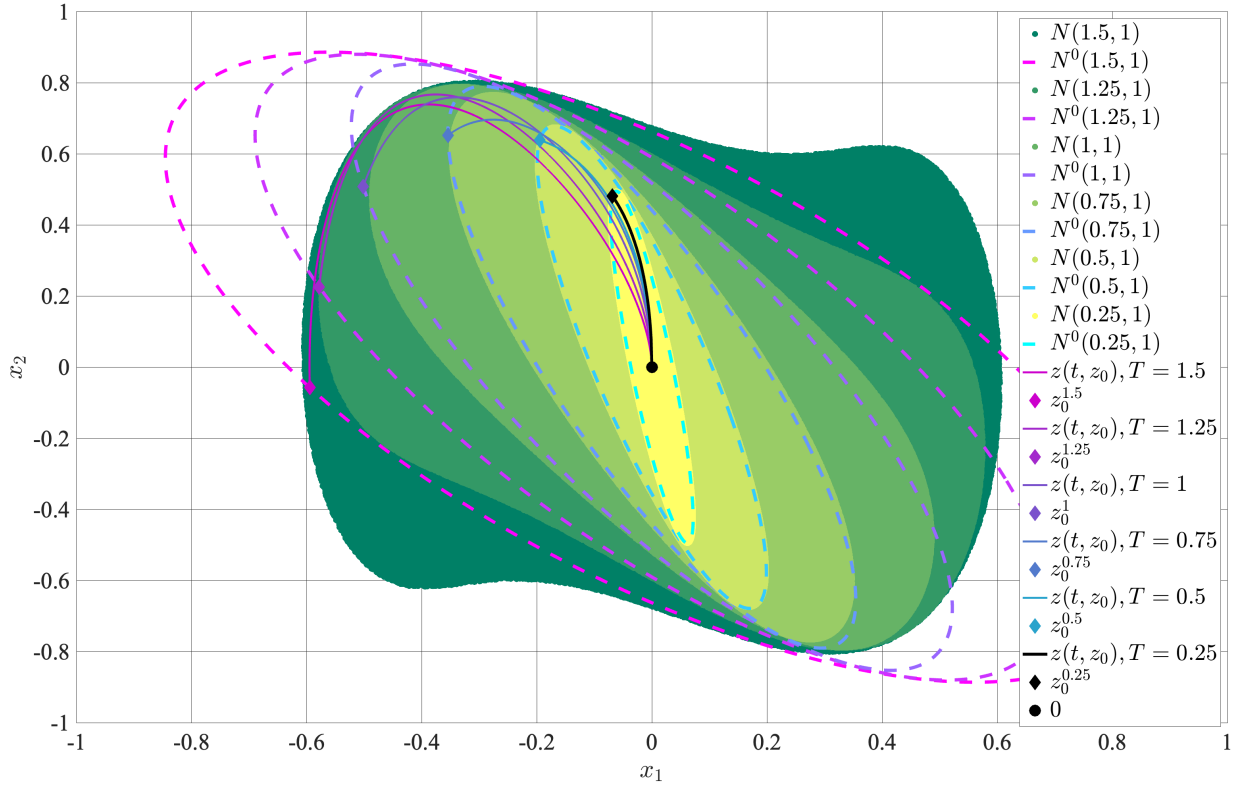


Рис. 2: Результаты экспериментов с изменением T и z_0

начальные условия z_0 , а "•" — целевую точку, расположенную в начале координат.

Замечание о невыполнении условия из первой части примера актуально и здесь. Из Таблицы 2 видно, что значения Δ_J также уменьшаются с уменьшением T , но это уменьшение не монотонно. По-видимому, это связано с тем, что меняется не только T , но и z_0 .

Также на Рисунке 2 видно, что множества нуль-управляемости нелинейной и линеаризованной систем близки по форме при $T \leq 0.75$.